

## IV-20 斜ケタ橋の構造力学的研究

京都大学工学部	正員	成岡昌夫
○神戸大学工学部	正員	大村 裕
日本国有鉄道	准員	深田彰一

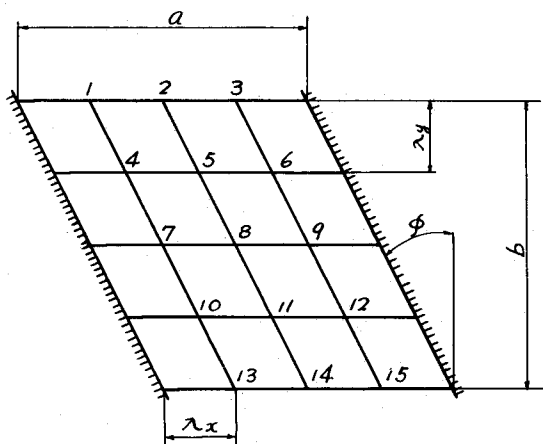
従来斜橋構造の設計にあたっては、その解析の困難なるために斜橋としての特質をほとんど考慮していない。近年高速交通の要望とともにあって斜橋構造の計画架設されることも多いよう多くなってきたのであって、その力学的性状を本質的に解明することが必要である。斜ケタ橋構造の解析についてはこれまで Illinois 大学 T. Y. Chen 他による研究があるにすぎない。著者等はさきに斜ケタ橋構造を直支異方性板とみなし、斜交座標階差法による解析をおこなつたが、これにしたがつて若干の計算結果を得たので報告したい。

Fig. 1. にしたがつて斜ケタ橋の寸法比  $b/a = 1$ 、剛度比  $B_x/B_y = 36$  を一定とし、斜角  $\tan \phi = 0, \frac{1}{2}, 1, \frac{3}{2}, 2$  に変化させてねじり剛度係数  $\bar{\kappa} = 1, 0$  の各場合についてタクミ及びモーメントの影響係数とともに、さらに鋼道路橋標準示方書の設計荷重による橋軸方向最大モーメントをもとめて斜角の変化による影響を考察した。なお二つの場合自由辺には弾性ケタを有しないものとした。すなわち  $J = K^4 E_b I_b / \alpha_y B_x = 0$  とし自由辺に弾性ケタを有する場合には理論上の橋巾  $\alpha$  をケタの剛度に応じて拡げることになる。

階差の網目はできるだけ細かくところことが望ましいが、計算の手数がいちじろしく増加し、自動電気計算機によつても経費その他事情から数多くの場合について計算をおこなうことが困難である。本研究においては一応全構造を縦横各 4 等分 (Fig. 1.) とし、15 の網目についての影響係数をもとめた。この場合荷重を板中央に奥れて対稱の場合と逆対稱の場合を別個にもとめてこれを加え合わせることにより、結局 8 次及び 7 次の逆マトリックス計算をおこなうことになり帰する。この計算を Crout の方法により Monroe type 電動計算器を用いておこなつた。この程度の計算であれば研究室において容易に計算することができる。

この網目を用いて、 $\tan \phi = 0$  すなわち直橋の場合について Gyon - Massonet の要素荷重分配係数  $K$  の値との比較をおこなつた結果は  $\bar{\kappa} = 1$  の場合には自由辺中央載荷の場合の同値の値を除いてその誤差は 6~7% 程度である。 $\bar{\kappa} = 0$  の場合はこれより若干誤差が大

Fig. 1. Network of Skew Bridge



きくなる。すなは  
チタウミ曲面の曲  
率の小さい奥につ  
いてはその誤差が  
大きくなるわけで  
ある。またモーメ  
ントはタウミに比  
して誤差が大きく  
なる。これらは階  
差法による場合に  
は避け難いところ  
であって、本計算  
における細目はこ  
の意味からも粗に  
すぎときらいはあるが、斜ケタ橋構

造における斜角の変化による力学的性状の大要を考察することは可能である。

タウミ影響係数のうち、スパン中央(2,5,8)に載荷した場合の該中央のタウミの斜角によ  
る変化を示したのがFig. 2. である。いずれの場合も斜角の増大とともに急速にその値を  
減じるが、自由辺中央(2)に載荷したときの該中央のタウミは  $\kappa=0$  の場合ほとんど斜角の  
影響を受けない。すなはち自由辺においてはねじり剛度の影響が顕著であるが、板中央部  
では斜角によるタウミの減少に及ぼすねじり剛度の影響は大きくなない。

鋼道路橋標準示方書の設計荷重による板中央の橋軸方向最大モーメントの斜角による変  
化は Fig. 3 に示す  
ようである。一般  
にいずれの場合も  
ほぼ同様の傾向を  
示すが、ねじり剛  
度の大きい方が斜  
角の変化は鋭敏で  
あることを示して  
いる。また  $\kappa=0$   
の場合には一部  
( $\tan\phi = \frac{1}{2}$ ) で直橋の  
場合より大きいモ  
ーメントを生じて  
いる。

Fig. 2. Comparison of Deflections

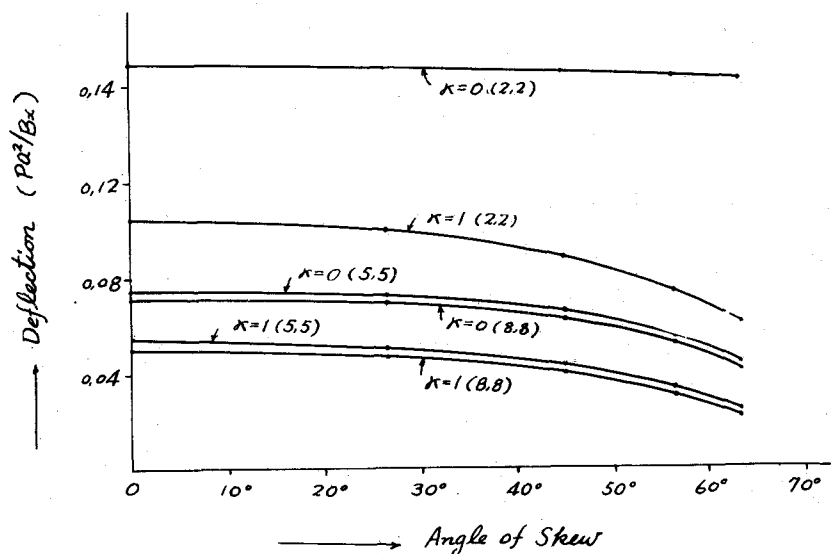


Fig. 3. Comparison of max. Moments

